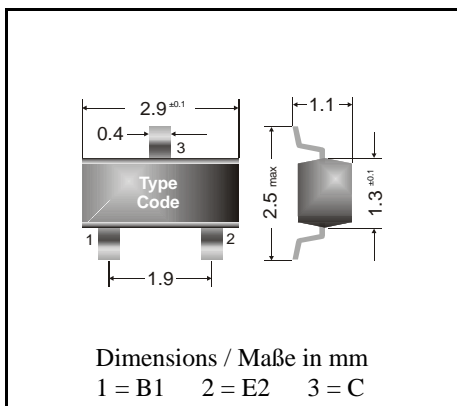


PNP

Surface mount Si-Epitaxial Planar Transistors
Si-Epitaxial Planar Transistoren für die Oberflächenmontage

PNP

Version 2004-01-20



Power dissipation – Verlustleistung	250 mW
Plastic case Kunststoffgehäuse	SOT-23 (TO-236)
Weight approx. – Gewicht ca.	0.01 g
Plastic material has UL classification 94V-0 Gehäusematerial UL94V-0 klassifiziert	
Standard packaging taped and reeled Standard Lieferform gegurtet auf Rolle	

Maximum ratings ($T_A = 25^\circ\text{C}$)**Grenzwerte ($T_A = 25^\circ\text{C}$)**

		BCV26	BCV46
Collector-Emitter-voltage $V_{BE} = 0$	$- V_{CES}$	30 V	60 V
Collector-Base-voltage E open	$- V_{CB0}$	40 V	80 V
Emitter-Base-voltage C open	$- V_{EB0}$	10 V	
Power dissipation – Verlustleistung	P_{tot}	250 mW ¹⁾	
Collector current – Kollektorstrom (dc)	$- I_C$	500 mA	
Peak Collector current – Kollektor-Spitzenstrom	$- I_{CM}$	800 mA	
Base current – Basisstrom (dc)	$- I_B$	100 mA	
Junction temperature – Sperrschiichttemperatur	T_j	150°C	
Storage temperature – Lagerungstemperatur	T_s	- 65...+ 150°C	

Characteristics ($T_j = 25^\circ\text{C}$)**Kennwerte ($T_j = 25^\circ\text{C}$)**

		Min.	Typ.	Max.
Collector-Base cutoff current – Kollektorreststrom $I_E = 0, - V_{CB} = 30 \text{ V}$	$- I_{CB0}$ BCV26	–	–	100 nA
$I_E = 0, - V_{CB} = 60 \text{ V}$	$- I_{CB0}$ BCV46	–	–	100 nA
Emitter-Base cutoff current – Emitterreststrom $I_C = 0, - V_{EB} = 10 \text{ V}$	$- I_{EB0}$	–	–	100 nA
Collector saturation volt. – Kollektor-Sättigungsspg. ²⁾ $- I_C = 100 \text{ mA}, - I_B = 0.1 \text{ mA}$	$- V_{CEsat}$	–	–	1 V

¹⁾ Mounted on P.C. board with 3 mm² copper pad at each terminalMontage auf Leiterplatte mit 3 mm² Kupferbelag (Löt pad) an jedem Anschluß²⁾ Tested with pulses $t_p = 300 \mu\text{s}$, duty cycle $\leq 2\%$ – Gemessen mit Impulsen $t_p = 300 \mu\text{s}$, Schaltverhältnis $\leq 2\%$

Characteristics ($T_j = 25^\circ\text{C}$)Kennwerte ($T_j = 25^\circ\text{C}$)

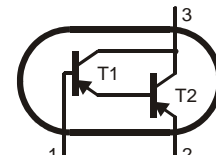
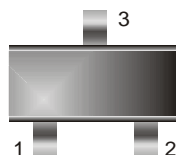
		Min.	Typ.	Max.
Base saturation voltage – Basis-Sättigungsspannung ¹⁾ - $I_C = 100 \text{ mA}$, - $I_B = 0.1 \text{ mA}$	V_{BESAT}	-	-	1.5 V
DC current gain – Kollektor-Basis-Stromverhältnis ¹⁾ - $V_{CE} = 5 \text{ V}$, - $I_C = 1 \text{ mA}$	BCV26 BCV46	h_{FE} h_{FE}	4000 2000	- -
- $V_{CE} = 5 \text{ V}$, - $I_C = 10 \text{ mA}$	BCV26 BCV46	h_{FE} h_{FE}	10000 4000	- -
- $V_{CE} = 5 \text{ V}$, - $I_C = 100 \text{ mA}$	BCV26 BCV46	h_{FE} h_{FE}	20000 10000	- -
Base-Emitter voltage – Basis-Emitter-Spannung ¹⁾ - $V_{CE} = 5 \text{ V}$, - $I_C = 10 \text{ mA}$		$-V_{BEon}$	-	1.4 V
Gain-Bandwidth Product – Transitfrequenz - $V_{CE} = 5 \text{ V}$, - $I_C = 10 \text{ mA}$, $f = 100 \text{ MHz}$		f_T	-	220 MHz
Thermal resistance junction to ambient air Wärmewiderstand Sperrschiicht – umgebende Luft			R_{thA}	420 K/W ²⁾
Recommended complementary NPN transistors Empfohlene komplementäre NPN-Transistoren				BCV27, BCV47

Marking – Stempelung

BCV26 = FD

BCV46 = FE

Pinning – Anschlußbelegung



¹⁾ Tested with pulses $t_p = 300 \mu\text{s}$, duty cycle $\leq 2\%$ – Gemessen mit Impulsen $t_p = 300 \mu\text{s}$, Schaltverhältnis $\leq 2\%$

²⁾ Mounted on P.C. board with 3 mm^2 copper pad at each terminal
Montage auf Leiterplatte mit 3 mm^2 Kupferbelag (Löttag) an jedem Anschluß